

# طراحی کنترل کننده‌ی غیرمت مرکز $H_2/LQG$ با سیستم بازخورد بی‌سیم برای یک پل معلق ترکه‌بی تحت بارگذاری لرزه‌بی

تهرج نقی خانی (استادیار)

آرش بگانه فلاح<sup>\*</sup> (دانشجوی کارشناسی ارشد)

دانشکده‌ی مهندسی عمران و محیط زیست، دانشگاه صنعتی امیرکبیر

در کنترل فعال و نیمه‌فعال سازه‌های بزرگ‌مقیاس، مرتبه‌ی بالای مدل کنترلی موجب افزایش عملیات عددي، زمان محاسبات و تأخیر پاسخ کنترلی می‌شود. سیستم بازخورد بی‌سیم در این سازه‌ها، ضمن اینکه دارای هزینه‌ی کمتر نصب، سهولت تغییر آرایش و اعتمادپذیری بیشتری است، می‌تواند با بهره‌گیری از راهبردهای کنترلی مناسب جایگزین سیستم بازخورد کابلی شود و سبب کاهش تأخیر زمانی بازخوردها شود.

در این راستا، این نوشتار به مطالعه‌ی راهبردهای کنترلی غیرمت مرکز  $H_2/LQG$  استفاده در سیستم بازخورد بی‌سیم یک پل معلق ترکه‌بی می‌پردازد. ابتدا مدل کاهش مرتبه‌ی افتته پل به روش محدوده‌ی زمانی و بسامدی به دست آمده و سپس کنترل کننده‌ی غیرمت مرکز  $H_2/LQG$  برای این مدل به روش بهینه‌سازی نرم  $H_2$  سیستم از طریق ماتریس ضرباب لانگرانز ارائه و با فرض تأخیر زمانی بازخوردها، کارایی آن ارزیابی شده است.

واژگان کلیدی: کنترل غیرمت مرکز، تأخیر زمانی، پل معلق ترکه‌بی، کاهش مرتبه‌ی مدل، بزرگ‌مقیاس.

ttaghikhany@aut.ac.ir  
yeganeh\_arash@yahoo.com

## ۱. مقدمه

اطلاعات را از سازه در طول بارگذاری دینامیکی جمع‌آوری و به کنترل کننده ارسال می‌کنند تا پس از پردازش، دستور اعمال نیروی کنترلی مناسب به عملگرها ارسال و ارتعاشات سازه را کنترل کنند.

برای انتقال اطلاعات در زمان حقیقی<sup>۵</sup> از حسگرها به کنترل کننده، معمولاً کابل‌ها به منزله‌ی واصل ارتباطی استفاده می‌شوند. با وجود قابلیت اعتماد مناسب سیستم کابلی، اما زمان طولانی مورد نیاز برای نصب این سیستم‌ها، سخت‌بودن تغییر در آرایش سیستم پس از نصب شبکه‌ی کابل‌ها، هزینه‌ی بالای کابل‌ها و نصب آن‌ها از جمله معایی‌اند که می‌توان نام برد. سازه‌های بزرگ‌مقیاس، مانند پل‌های معلق با دهانه‌های طولانی به آسانی نیاز به کیلومترها کابل دارند تا چنین سیستم‌هایی در آن‌ها نصب شوند. با به وجود آمدن سیستم ارتباط بی‌سیم و تعییه‌ی فناوری محاسبات<sup>۶</sup> در حسگرها، امکان جایگزینی سیستم‌های رایج کنترل (یعنی حسگرها، کابل‌های ارتباط‌دهنده‌ی بازخورد و کنترل کننده‌ها) با این نسل از حسگرهاهی هوشمند فراهم آمده است.<sup>[۲]</sup> بدین ترتیب از ترکیب حسگرها با سیستم ارتباط بی‌سیم و تعییه‌ی فناوری محاسبات در آن‌ها حسگرهاهی بی‌سیم هوشمند پدید آمده‌اند که می‌توانند مسئولیت‌های حسگرها و کنترل کننده‌ها را بر عهده گیرند. این حسگرها نه فقط به دریافت و ارسال اطلاعات با حسگرهاهی همسایه می‌پردازند، بلکه با انجام بخشی از عملیات پردازش تصمیم‌گیری‌های کنترلی را نیز انجام می‌دهند و سیگنال‌های کنترلی را به ابزارهای کنترل سازه ارسال می‌کنند. به کاربردن ارتباط بی‌سیم و حسگرها

در سال‌های اخیر، به کارگیری فناوری‌های کنترل لرزه‌بی سازه‌ها برای حفاظت آن‌ها در زمان وقوع زلزله یا بادهای شدید توجه زیادی را به خود جلب کرده‌اند. کنترل لرزه‌بی سازه‌ها شامل سه دسته‌ی اصلی کنترل غیرفعال، فعال، و نیمه‌فعال می‌شود. در راهبردهای کنترلی غیرفعال، انرژی لرزه‌بی به وسیله‌ی میراگرها، جذب، و یا منعکس می‌شود. در سیستم کنترلی فعل از محرك‌های بزرگ برای اعمال مستقیم نیروی کنترل استفاده می‌شود، اما در سیستم کنترلی نیمه‌فعال ابزار کنترل برای اعمال غیرمستقیم نیروی کنترل استفاده می‌شوند. سیستم کنترلی نیمه‌فعال به این دلیل که می‌تواند ضمن کنترل عملکرد سازه در حد مطلوب از انرژی کمتری برای رسیدن به اهداف کنترلی استفاده کند، مورد توجه بیشتری قرار گرفته است. از محرك‌های نیمه‌فعال می‌توان به محرك سختی متغیر فعل (AVS)<sup>۱</sup> و میراگرها<sup>۲</sup> که حاوی سیال‌های الکترونولوژیکال (ER)<sup>۳</sup> یا مگنترونولوژیکال (MR)<sup>۴</sup> هستند، اشاره کرد.

سیستم‌های فعل و نیمه‌فعال که هر دو مشتمل بر عملگرها<sup>۴</sup>، حسگرها و کنترل کننده در سازه‌اند، از عملکرد هوشمندانه‌تری نسبت به تغییر شرایط سازه‌بی و محیطی در مقایسه با سیستم‌های غیرفعال برخوردارند. در این سیستم حسگرها

\* نویسنده مسئول  
تاریخ: دریافت ۱۴، ۱۳۸۹، /۴، /۱۴، /اصلاحیه ۱۴، ۱۳۹۰، پذیرش ۲۹، ۱، ۱۳۹۰.

کاهش مرتبه وجود دارد: اولین روش بر پایه‌ی تجزیه‌ی تک‌مقدارها (SVD) است که یکی از پرکاربردترین و معروف‌ترین روش‌های این گروه (TBR) است و پژوهشگران علم کنترل برای اولین بار در دهه‌ی ۸۰ آن را بیان کردند. این روش بر پایه‌ی حذف حالت‌های<sup>۱۲</sup> از معادله‌ی حالت است که دارای کمترین تأثیر در رفتار سیستم‌اند و برای سیستم‌های با اندازه‌ی متوسط مناسب است. دو میان روش بر پایه‌ی گشتاور تطبیقی<sup>۱۳</sup> است و معروف‌ترین روش این گروه، روش کریلاو<sup>۱۴</sup> است. این روش که از اواسط دهه‌ی ۹۰ شروع و توسعه یافته است، به مسئله‌ی کاهش مرتبه‌ی مدل از دیدگاه ریاضی نگاه می‌کند و تنها روش موجود برای سیستم‌های بزرگ‌مقیاس با مرتبه‌ی بسیار بالا (صفتها هزار) است.<sup>[۱۵]</sup>

این مطالعه به ارائه یک سیستم کنترلی با الگوریتم غیرمتمرکز  $H_2/LQG$  برای یک پل معلق ترکیبی (که از بازخورد بی‌سیم بهره می‌برد) پرداخته است. دلیل انتخاب این سازه: مقیاس بزرگ آن، نرمی بسیار زیادش که سبب موردنویه قرارگرفتن کنترل رفتار آن می‌شود، و تأخیر زمانی قابل ملاحظه در بازخورددهای سیستم کنترل کننده‌ی آن است. ابتدا مرتبه‌ی مدل کنترلی پل به‌دلیل بزرگی مقیاس در بازه‌ی تعیین‌شده‌ی بسامد مودهای حاکم بر رفتار پل و مدت زمان معمول بارگذاری لرزه‌ی کاهش داده شد. سپس کنترل کننده‌ی غیرمتمرکز  $H_2/LQG$  به روش بهینه‌سازی نرم  $H_2$  سیستم از طریق ضرایب ماتریس لگرانز برای مدل کاهش داده‌ی طراحی و پاسخ‌های آن با مدل سیستم‌های کنترلی متmarکز تحت بارگذاری زلزله مقایسه شد.

در مرحله‌ی بعد، تأخیر زمانی در بازخورددهای اعمال شد و پاسخ سازه با کنترل کننده‌های متmarکز و غیرمتمرکز  $H_2/LQG$  و لحاظکردن تأخیر زمانی به دست آمد و با پاسخ‌های سازه‌ی حالت قبل که تأخیر زمانی در طراحی آن‌ها در نظر گرفته نشده بود، مقایسه شد. مقایسه‌ی پاسخ سازه در حالات فوق بیشترین کاهش را در بیشتر پارامترها در مدل‌های کنترلی غیرمتمرکز و در شرایط وجود تأخیر زمانی در بازخورددهای از خود نشان داد.

## ۲. کاهش مرتبه‌ی مدل در محدوده‌ی زمانی و بسامدی

این سیستم کنترلی را در نظر بگیرید (رابطه‌ی ۱):

$$\sum : \begin{cases} \sigma x(t) = Ax(t) + Bu(t) \\ y(t) = Cx(t) + Du(t) \end{cases} \quad (1)$$

برای سادگی آن (رابطه‌ی ۱) را به صورت رابطه‌ی ۲ بیان می‌کنیم:

$$\sum = \begin{bmatrix} A & B \\ C & D \end{bmatrix} \in R^{(n+p) \times (n+m)} \quad (2)$$

که مدل کاهش‌یافته‌ی آن به شکل رابطه‌ی ۳ بیان می‌شود:

$$\hat{\sum} = \begin{bmatrix} \hat{A} & \hat{B} \\ \hat{C} & \hat{D} \end{bmatrix} \in R^{(r+p) \times (r+m)} \quad (3)$$

در سیستم کاهش داده شده (رابطه‌ی ۳) باید  $n <> r$  باشد. در روابط ۱ تا ۳،  $A$  ماتریس حالت سیستم،  $B$  ماتریس متناظر ورودی‌های سیستم،  $C$  ماتریس متناظر با خروجی‌های سیستم، و  $D$  ماتریس میانبر بین ورودی‌ها و خروجی‌های سیستم؛ بعد ماتریس  $A$  و  $r$  بعد ماتریس کاهش‌یافته‌ی  $A$ ، یعنی  $\hat{A}$  است.  $m$  تعداد ورودی‌های سیستم کنترلی، و  $p$  متناظر با تعداد خروجی‌های سیستم کنترلی

هوشمند سبب کاهش هزینه‌ها و افزایش قابلیت تغییر آرایش سیستم کنترل بازخورد در سازه شدن.<sup>[۱۶]</sup>

پژوهشگران زیادی پژوهش‌های آزمایشگاهی مختلفی در مورد کنترل سازه‌ی بی‌سیم انجام داده‌اند، و به‌کاربردن حس‌گرهای هوشمند بی‌سیم در مدل‌های مختلف کنترل سازه و بازخورد در زمان حقیقی را بررسی کرده‌اند.<sup>[۱۷]</sup> نتایج حاصل از این بررسی‌ها نشان داد که جایگزین کردن کابل‌ها به سیمه‌ی کانال‌های ارتباطی بی‌سیم سبب محدودیت‌هایی در حجم اطلاعات ارتباطی، ایجاد تأخیر در بازخورد و امکان از دست دادن اطلاعات می‌شوند، که تأخیر در بازخورد سبب کاهش عملکرد سیستم کنترلی می‌شود.<sup>[۱۸]</sup> در حالت کالی در سیستم‌های کنترل بازخورد بزرگ‌مقیاس، بدون توجه به نوع سیستم ارتباطی (کابلی یا بی‌سیم)، تأخیر زمانی امری عادی است. معمولاً برای حل این مشکلات از راهبرد کنترل غیرمتmarکز به جای کنترل متmarکز استفاده می‌شود. کنترل غیرمتmarکز معمولاً زمانی بدکارگرفته می‌شود که در دسترسی به بازخورد پاسخ سازه برای تصمیم‌گیری کنترلی مشکلی وجود داشته باشد. در سیستم کنترل غیرمتmarکز، سازه به زیرسازه‌های تقسیم و هر زیرسیستم، کنترل کننده‌ی مربوط به خود را دارد و این کنترل کننده‌ها از حس‌گرهای زیرسیستم‌های مربوط به مربوط به خود را زیرسیستم همسایه سیگنال دریافت می‌کنند تا تصمیم کنترلی را در مورد زیرسیستم خود بگیرند. اما در سیستم کنترل متmarکز فقط یک کنترل کننده وجود دارد که از تمام حس‌گرهای نصب شده بر روی سازه سیگنال دریافت می‌کند و خود به تهابی تصمیم کنترلی مناسب را اتخاذ می‌کند. برای هر دو نوع شبکه‌ی ارتباطی (کابلی یا بی‌سیم) در کنترل سازه، غیرمتmarکزسازی سبب کاهش ترافیک کانال‌های ارتباطی، افزایش سرعت دریافت اطلاعات، زمان تأخیر کوتاه‌تر در بازخورد، و نیاز کم‌تر به انتقال حجم‌های بزرگ اطلاعات می‌شود. برخلاف سیستم کنترل متmarکز که با از کارافتادن کنترل کننده‌ی کل سیستم کنترلی فایل می‌شود، سیستم کنترل غیرمتmarکز این ریسک را از میان برミ دارد.

مطالعات زیادی از سوی پژوهشگران مختلف در زمینه‌ی الگوریتم‌های سیستم‌های کنترل غیرمتmarکز انجام شده است. از جمله‌ی این مطالعات می‌توان به بررسی‌های آزمایشگاهی و نظری، در مورد الگوریتم‌های  $LQR$ ،  $LQG$ ، که با استفاده از نظریه‌های لوائز و سیلیجک<sup>۷</sup> و با درنظر گرفتن تأخیر زمانی انجام شده است، اشاره کرد.<sup>[۱۹]</sup> همچنین پژوهشی در مورد الگوریتم کنترلی غیرمتmarکز  $H_\infty$  به روش همچایی از طریق نامعادله‌های خطی ماتریسی با درنظر گرفتن تأخیر زمانی انجام شده است و به نتایج موفقیت‌آمیزی در این زمینه رسیده است.<sup>[۲۰]</sup> پژوهشگران مختلف روش‌های دیگری را نیز بررسی کرده‌اند که هر کدام دارای خصوصیات ویژه‌ی هستند. از جمله روش‌هایی که برای کنترل غیرمتmarکز  $H_2$  و  $H_\infty$  ارائه شده است، می‌توان به استفاده از ماتریس ضرایب لگرانز در کمینه‌سازی تابع ارزش سیستم و یا روش فوق با درنظر گرفتن حدود برای دامنه‌ی قطب‌های سیستم اشاره کرد.<sup>[۲۱]</sup>

یکی دیگر از مشکلاتی که در کنترل سازه‌های بزرگ‌مقیاس وجود دارد، محدودیت‌هایی در حافظه و زمان طولانی پردازش مدل شبیه‌سازی شده به‌دلیل مرتبه‌ی بالای مدل کنترلی این نوع از سازه‌های است. برای اینکه بتوانیم در شبیه‌سازی رفتار این سازه‌ها و طراحی کنترل کننده برای آن‌ها به درستی عمل کنیم، لازم است تا روشی برای کاهش عملیات محاسباتی یا کاهش مرتبه‌ی مدل این‌گونه سازه‌ها انجام شود. این روش باید به‌گونه‌ی باشد که مدل کاهش یابد، در حالی که خصوصیات مدل اصلی نظیر انفعا<sup>۸</sup> و پایداری<sup>۹</sup> را حفظ کند و رفتار مدل اصلی را با دقت مناسب تخمین بزند.<sup>[۲۲]</sup>

معادلات حرکت یک سازه‌ی بزرگ‌مقیاس در فضای حالت به صورت یک سیستم خطی مستقل از زمان<sup>۱۰</sup> مدل می‌شود. برای این نوع از مدل دو نوع روش عمومی

برای کاهش دادن مدل به روش فوق طول تقریبی بازه‌ی اعمال بارگذاری دینامیکی است.

حال با داشتن رابطه‌های ۱۱ و ۱۲، می‌توان مرتبه‌ی سیستم کنترلی را طبق این روند کاهش دهیم:

۱. تعیین گرامیان‌های  $W_c$  و  $W_o$  از رابطه‌ی ۴ برای  $(A, B, C)$  داده شده.

۲. تعیین  $(T, \omega)$  و  $W_o(T, \omega)$  از رابطه‌ی ۸ که در آن  $T$  نمایان‌گر بازه‌ی زمانی  $[t_1, t_2]$  و  $\Omega$  نمایان‌گر بازه‌ی بسامدی  $\omega_1, \omega_2$  است.

۳. حال با به دست آوردن  $(W_c(T, \Omega) \text{ و } W_o(T, \Omega))$ ، تک‌مقدارهای هنکل از رابطه‌ی ۵ به دست می‌آیند؛ لذا می‌توان مدل کاهش‌یافته‌ی  $(A_r, B_r, C_r)$  را با حذف حالت‌های متناظر با مقادیر کوچک‌تر تک‌مقدارهای هنکل به دست آورد. که در آن،  $A_r$  ماتریس حالت سیستم کاهش مرتبه‌یافته،  $B_r$  ماتریس متناظر ورودی‌های سیستم کاهش مرتبه‌یافته، و  $C_r$  ماتریس متناظر خروجی‌های سیستم کاهش مرتبه‌یافته هستند.

خطای تقریب که بین سیستم اصلی و سیستم کاهش داده شده وجود دارد، به صورت نرم بی‌نهایت از اختلاف تابع تبدیل سیستم اصلی و تابع تبدیل سیستم کاهش داده بیان می‌شود. مزیت این خطای این تقریب به صورت دو برابر مجموع تک‌مقدارهای هنکل باقی‌مانده است و به شکل رابطه‌ی ۹ بیان می‌شود:<sup>[۸]</sup>

$$\|G - G_{red}\|_\infty \leq 2 \sum_{i=r+1}^n \sigma_i \quad (9)$$

که  $\sigma_i$  تک‌مقدار هنکل  $i$ ام و  $r$  مرتبه‌ی سیستم کاهش داده می‌باشد.

### ۳. الگوریتم کنترلی غیرمت مرکز LQG/H<sub>2</sub> با در نظر گرفتن تأخیر زمانی

#### ۱.۳. در نظر گرفتن تأخیر زمانی در سیستم کنترلی

سیستم کنترلی در رابطه‌ی ۱۰ را در نظر بگیرید که از تبدیل معادلات حرکت به معادلات حالت به دست آمده است. این سیستم در زمان پیوسته تعریف شده است.

$$\begin{aligned} \dot{x}(t) &= Ax(t) + B_1 w(t) + B_2 u(t) \\ z(t) &= C_1 x(t) + D_{11} w(t) + D_{12} u(t) \\ y(t) &= C_2 x(t) + D_{21} w(t) + D_{22} u(t) \end{aligned} \quad (10)$$

در این سیستم،  $x$  متغیر حالت،  $z$  متغیر ارزیابی سیستم، و  $y$  متغیر اندازه‌گیری،  $w$  و  $u$  به ترتیب بردارهای ورودی تحریکات و نیروی کنترل این سیستم،  $B_1$  ماتریس متناظر با ورودی تحریکات،  $B_2$  ماتریس متناظر با نیروی کنترل،  $C_1$  و  $C_2$  ماتریس‌های متناظر با متغیرهای ارزیابی و اندازه‌گیری،  $D_{11}$  و  $D_{12}$  ماتریس‌های ارتباطی بین متغیرهای ارزیابی به تحریکات و نیروی کنترل، و  $D_{21}$  و  $D_{22}$  ماتریس‌های ارتباطی بین متغیرهای اندازه‌گیری به تحریکات و نیروی کنترل هستند. با در نظر گرفتن  $\Delta t$  به عنوان بازه‌های اندازه‌گیری، معادله‌ی ۱۰ را می‌توان از زمان پیوسته به زمان گستته تبدیل کرد.<sup>[۸, ۹]</sup>

$$\begin{aligned} x[k+1] &= A_d x[k] + B_{1d} w[k] + B_{2d} u[k] \\ z[k] &= C_1 x[k] + D_{11} w[k] + D_{12} u[k] \\ y[k] &= C_2 x[k] + D_{21} w[k] + D_{22} u[k] \end{aligned} \quad (11)$$

است.  $\hat{A}, \hat{B}$  و  $\hat{D}$  ماتریس‌های تشکیل‌دهنده‌ی سیستم کنترلی کاهش داده‌اند که این ماتریس‌ها متناظر با ماتریس‌های سیستم کاهش نیافرته‌اند.

برای کاهش دادن مرتبه‌ی مدل در محدوده‌ی زمانی و بسامدی لازم است گرامیان‌های کنترل‌پذیری و مشاهده‌پذیری در محدوده‌ی زمانی و بسامدی مشخص شده بدست آیند و با کمک این گرامیان‌ها تک‌مقدارهای هنکل<sup>[۱۰]</sup> محاسبه شوند و حالت‌های متناظر با مقادیر کوچک تک‌مقدارهای هنکل حذف شوند. این حالت‌ها دارای کمترین تأثیر در رفتار سیستم‌اند.<sup>[۸]</sup>

گرامیان‌های کنترل‌پذیری و مشاهده‌پذیری با معادله‌ی لیپاپو<sup>[۱۱]</sup> بدون هیچ محدودیتی در زمان و بسامد به صورت رابطه‌ی ۴ تعریف می‌شوند:<sup>[۷]</sup>

$$\begin{aligned} AW_c + W_c A^T + BB^T &= 0 \\ A^T W_o + W_o A + C^T C &= 0 \end{aligned} \quad (4)$$

در حالت  $A$  به صورت پایدار، گرامیان‌های  $W_c$  و  $W_o$  ماتریس‌هایی مثبت و معین هستند، و یا به عبارت دیگر سیستم کنترل‌پذیر و مشاهده‌پذیر است. کنترل‌پذیر بودن سیستم در فضای مودال به این معنی است که محرک‌های نصب شده در سیستم (سازه) تمام مودهای سیستم (سازه) را تحریک کنند و مشاهده‌پذیر بودن سیستم در فضای مودال به این معنی است که حسگرهای نصب شده در سیستم (سازه) تمام مودهای سازه را مشاهده کنند. مقادیر ویژه حاصل ضرب گرامیان‌های کنترل‌پذیری و مشاهده‌پذیر مقدار ثابتی‌اند که حتی با تبدیل مختصات هم ثابت می‌مانند. ریشه‌ی دوم این مقادیر (تک‌مقدارهای هنکل) از رابطه‌ی ۵ به دست می‌آیند:<sup>[۷]</sup>

$$\gamma_i = \sqrt{\lambda_i(W_c W_o)}, \quad i = 1, \dots, N \quad (5)$$

که در آن،  $\lambda$  نمایان‌گر  $n$  امین مقدار ویژه و  $N$  بعد گرامیان‌های کنترل‌پذیری و مشاهده‌پذیر است.

حال با به دست آمدن گرامیان‌های کنترل‌پذیری ( $W_c$ ) و مشاهده‌پذیری ( $W_o$ )، می‌توان تابع گرامیان‌های کنترل‌پذیری و مشاهده‌پذیری را بر حسب بسامد به صورت رابطه‌های ۶ و ۷ به دست آورد:<sup>[۷]</sup>

$$W_c(\omega) = W_c S^*(\omega) + S(\omega) W_c$$

$$W_o(\omega) = S^*(\omega) W_o + W_o S(\omega) \quad (6)$$

$$S(\omega) = \frac{j}{2\pi} \ln((H^{-1})^* H) = \frac{j}{2\pi} \ln((A + j\omega I)(A - j\omega I)^{-1}). \quad (7)$$

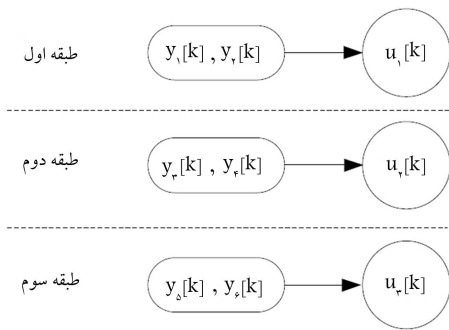
که در آن،  $H$  تبدیل فوریه از  $e^{At}$  است و با  $(A - j\omega I)^{-1}$  نشان داده می‌شود، و  $H^*$  مزدوج موهومی از ترانهاده‌ی  $H$  است.

حال تابع دو پارامتری  $W_c(t, \omega)$  و  $W_o(t, \omega)$  را می‌توان با استفاده از توابع  $W_c(\omega)$  و  $W_o(\omega)$  از رابطه‌ی ۶ به صورت رابطه‌ی ۸ بیان کرد:

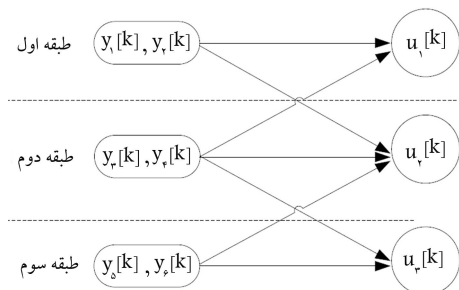
$$W_c(t, \omega) = S(t) W_c(\omega) S^T(t)$$

$$W_o(t, \omega) = S^T(t) W_o(\omega) S(t) \quad (8)$$

که در آن،  $S(t) = e^{At}$  است. گرامیان‌ها سیستم را در بازه‌ی محدوده‌ی زمانی و بسامدی توصیف می‌کنند. با توجه به اینکه در سازه‌ها مجموع پاسخ مودهای حاکم بر سازه با دقت بسیار خوبی با پاسخ سازه‌ی تحت تأثیر بارهای مختلف دینامیکی برآوری می‌کند، محدوده‌ی بسامدی متناظر با این مودهای پاسخهای بازه‌ی بسامدی برای کاهش دادن مدل متناظر با سازه به کار گرفته می‌شود. بازه‌ی زمانی در نظر گرفته شده



شکل ۱. سیستم کنترلی کاملاً غیرمتقارن در ساختمان سه طبقه.



شکل ۲. سیستم کنترلی غیرمتقارن جزیی در ساختمان سه طبقه.

کنندۀ بی به صورت رابطه‌ی ۱۴ در نظر گرفت.

$$\begin{aligned} \dot{x}_G &= A_G x_G + B_G y \\ u &= C_G x_G + D_G y \end{aligned} \quad (14)$$

با درنظر گرفتن بردار متغیرهای حالت، حلقه بسته‌ی این سیستم به صورت  $(x^T, x_G^T)^T = \tilde{x}$  است که می‌توانیم آن را به صورت رابطه‌ی ۱۵ نشان دهیم:

$$\begin{aligned} \dot{\tilde{x}} &= A_{cl} \tilde{x} + B_{cl} w \\ z &= C_{cl} \tilde{x} + D_{cl} w \end{aligned} \quad (15)$$

برای معرفی  $A_{cl}, B_{cl}, C_{cl}$  و  $D_{cl}$  لازم است ابتدا سیستم ۱۰ را با فرض  $D_{22} = ۰$ ، به صورت رابطه‌ی ۱۶ معرفی کنیم و کنترل کنندۀ را به صورت  $G$  نشان دهیم تا بتوانیم این ماتریس‌ها را به دست آوریم (رابطه‌های ۱۶ تا ۱۸):

$$\begin{aligned} \tilde{A} &= \begin{bmatrix} A & ۰ \\ ۰ & I_{n_G} \end{bmatrix}, \tilde{B}_1 = \begin{bmatrix} B_1 \\ ۰ \end{bmatrix}, \tilde{B}_2 = \begin{bmatrix} ۰ & B_2 \\ I_{n_G} & ۰ \end{bmatrix} \\ \tilde{C}_1 &= \begin{bmatrix} C_1 & ۰ \end{bmatrix}, \tilde{D}_{11} = D_{11}, \tilde{D}_{12} = \begin{bmatrix} ۰ & D_{12} \end{bmatrix} \\ \tilde{C}_2 &= \begin{bmatrix} ۰ & I_{n_G} \\ C_2 & ۰ \end{bmatrix}, \tilde{D}_{21} = \begin{bmatrix} ۰ \\ D_{21} \end{bmatrix} \end{aligned} \quad (16)$$

$$G = \begin{bmatrix} A_G & B_G \\ C_G & D_G \end{bmatrix} \quad (17)$$

$$\begin{aligned} A_{cl} &= \tilde{A} + \tilde{B}_1 G \tilde{C}_1, \quad B_{cl} = \tilde{B}_1 + \tilde{B}_2 G \tilde{D}_{21}, \\ C_{cl} &= \tilde{C}_1 + \tilde{D}_{12} G \tilde{C}_2, \quad D_{cl} = \tilde{D}_{11} + \tilde{D}_{12} G \tilde{D}_{21} \end{aligned} \quad (18)$$

در این رابطه،  $\tilde{A}$  شمارنده‌ی گام زمانی است، و  $\tilde{z}$  زینویس  $d$  اشاره به این دارد که متغیر مربوط به آن در زمان گسسته بیان شده است.

وجود یک گام زمانی تأخیر برای سیگنال‌های اندازه‌گیری شده توسط حسگرها فرض شده است (یعنی زمان تأخیر بازخورد برابر با  $\Delta t$ ). این حالت معمولاً زمانی پیش می‌آید که بخش اصلی تأخیر زمانی بازخورد، تأخیر در ارسال و دریافت سیگنال‌ها باشد. بردار نویز حسگرها به صورت  $v[k] \in R^{n_v \times ۱}$  معروفی می‌شود. برای یک گام زمانی تأخیر و درنظر گرفتن نویز حسگرها، یک سیستم ساده در زمان گسسته به صورت رابطه‌ی ۱۲ تعریف می‌شود:

$$\begin{aligned} X_{TD}[k+1] &= A_{TD} X_{TD}[k] + B_{TD} \begin{bmatrix} y[k] \\ v[k] \end{bmatrix} \\ y_m[k] &= C_{TD} X_{TD}[k] + D_{TD} \begin{bmatrix} y[k] \\ v[k] \end{bmatrix} \end{aligned} \quad (12)$$

که در آن:

$$\begin{aligned} A_{TD} &= ۰, & B_{TD} &= [I \quad ۰] \\ C_{TD} &= I, & D_{TD} &= [۰ \quad S_V I] \end{aligned} \quad (13)$$

وروودی‌های این سیستم، سیگنال‌های اندازه‌گیری شده اولیه‌ی  $y[k]$  و نویز حسگرها  $v[k]$  هستند و خروجی سیستم سیگنال‌های اندازه‌گیری شده با تأخیر به همراه نویز حسگرها  $y_m[k]$  است که سیگنال‌های بازخورد برای تصمیم‌گیری کنترلی است که ضریب سطح نویز حسگر می‌باشد که برای آسانی در فرمولاسیون فوق برای  $S_v$  همه‌ی حسگرها این ضریب یکسان فرض شد؛ چنانچه این ضریب برای همه‌ی حسگرها یکسان نبود، می‌توانیم بردار متناهی این ضرایب را برای حسگرها در ماتریس واحد رابطه‌ی ۱۳ ضرب کنیم.<sup>[۷]</sup> به این ترتیب تعداد متغیرهای حالت در این سیستم حلقه‌ی باز تشکیل شده از رابطه‌های ۱۱ و ۱۲ برابر با مجموع متغیرهای حالت دو رابطه‌ی ۱۱ و ۱۲ خواهد شد و ورودی این سیستم حلقه‌ی باز شامل تحریکات زمین و نویز حسگرهاست.

### ۲.۳. تقسیم‌بندی سیستم‌های کنترلی غیرمتقارن

سیستم کنترلی غیرمتقارن، سیستمی است که در آن سازه را به تعدادی زیرسیستم تقسیم می‌کنند و سپس برای هر یک از این زیرسیستم‌ها یک کنترل کنندۀ طراحی می‌کنند. برای طراحی یک سیستم کنترلی غیرمتقارن ابتدا لازم است نوع این سیستم غیرمتقارن مشخص شود. سیستم‌های کنترلی غیرمتقارن را براساس سیستم بازخورد آن‌ها می‌توان به دو گونه‌ی سیستم کنترلی کاملاً غیرمتقارن، زیرسیستم‌ها همچونه اشتراکی جزئی تقسیم کرد. در سیستم کنترلی کاملاً غیرمتقارن، زیرسیستم‌ها در بازخوردهای زیرسیستم‌های همسایه ندارند. اما در سیستم کنترلی غیرمتقارن جزئی، زیرسیستم‌ها در بخشی از بازخوردهای زیرسیستم‌های همسایه اشتراک دارند. شکل ۱، یک سیستم کنترلی کاملاً غیرمتقارن برای یک همسایه ندارند. شکل ۲ یک سیستم کنترلی غیرمتقارن جزئی را برای همان ساختمان نشان می‌دهد.

### ۳. سیستم کنترلی حلقه بسته

پس از تعیین نوع سیستم کنترلی غیرمتقارن، برای طراحی آن لازم است سیستم حلقه‌ی بسته را برای رابطه‌ی ۱۰ به دست آورد. برای این سیستم می‌توان کنترل

برای طراحی کنترل‌کننده‌ی غیرمت مرکز بازخورد غیرمت مرکز را می‌توان با ایجاد مدل‌های فضای خالی در ماتریس‌های کنترل‌کننده‌ی  $A_G, B_G, C_G$  و  $D_G$  ایجاد کرد. برای این منظور سیگنال بازخورد  $w$  و نیروی کنترل  $u$  به  $N$  گروه تقسیم می‌شوند. و زمانی که تصمیم‌گیری در مورد نیروی کنترلی یک گروه صورت می‌پذیرد، فقط به سیگنال بازخورد متناظر آن گروه نیاز است. دو زیرسیستم ممکن است در سیگنال یک تبدیل می‌شود.<sup>[۱]</sup>

$$\begin{aligned} A_G &= \text{diag}(A_{G_I}, A_{G_{II}}, \dots, A_{G_N}) \\ B_G &= \text{diag}(B_{G_I}, B_{G_{II}}, \dots, B_{G_N}) \\ C_G &= \text{diag}(C_{G_I}, C_{G_{II}}, \dots, C_{G_N}) \\ D_G &= \text{diag}(D_{G_I}, D_{G_{II}}, \dots, D_{G_N}) \end{aligned} \quad (24)$$

همچنین  $N$  کنترل‌کننده‌ی مستقل را می‌توان به صورت روابط ۲۵ نشان داد:

$$\begin{cases} \dot{x}_{G_I} = A_{G_I} X_{G_I} + B_{G_I} y_I \\ u_I = C_{G_I} x_{G_I} + D_{G_I} y_I \\ \dots \\ \dot{x}_{G_N} = A_{G_N} X_{G_N} + B_{G_N} y_N \\ u_N = C_{G_N} x_{G_N} + D_{G_N} y_N \end{cases} \quad (25)$$

براساس تئوری ۱، نرم  $H_2$  سیستم حلقه‌ی بسته توسط  $\text{trace}(B_{cl}^T K B_{cl})$  به دست می‌آید، که  $K$  ماتریسی متقارن است و در رابطه‌ی زیر صدق می‌کند.

$$K(\tilde{A} + \tilde{B}_1 G \tilde{C}_1) + (\tilde{A} + \tilde{B}_1 G \tilde{C}_1)K + (\tilde{C} + \tilde{D}_{12} G \tilde{C}_1)^T (\tilde{C}_1 + \tilde{D}_{12} G \tilde{C}_1) = 0 \quad (26)$$

چنانچه ماتریس کنترل‌کننده‌ی  $G$  را با قیدهای آرایشی در نظر بگیریم که این کنترل‌کننده را به کنترل‌کننده‌ی غیرمت مرکز مورد نظرمان  $(G_d)$  تبدیل کند، به این ترتیب نرم  $H_2$  سیستم را می‌توانیم به یک مسئله‌ی بهینه‌سازی مقید تبدیل کنیم.<sup>[۱]</sup>

$$\min J(G_d) = \|H_{zw}\|_F^2 = \text{trace}(\tilde{B}_1^T K \tilde{B}_1) \quad \text{and } G_d \in S_f \quad (27)$$

البته در رابطه‌ی ۲۷ از  $\tilde{B}_1$  به جای  $B_{cl}$  استفاده شد، زیرا در بیشتر این مسائل  $D_{21}$  برابر صفر است و  $B_{cl}$  برابر  $\tilde{B}_1$  می‌شود. در رابطه‌ی ۲۷،  $S_f$  مجموعه‌ی از ماتریس‌هایی با آرایش از پیش تعیین شده هستند که پایداری سیستم حلقه‌ی بسته را حفظ می‌کنند. تابع لاغرانژی در رابطه‌ی ۲۸ را تعریف می‌کیم:

$$\begin{aligned} \ell(G_d, K, L) &= \text{trace}\{(\tilde{B}_1^T K \tilde{B}_1) \\ &\quad + [K(\tilde{A} + \tilde{B}_1 G_d \tilde{C}_1) + (A + \tilde{B}_1 G_d \tilde{C}_1)^T K \\ &\quad + (\tilde{C}_1 + \tilde{D}_{12} G_d \tilde{C}_1)^T (\tilde{C}_1 + \tilde{D}_{12} G_d \tilde{C}_1)]L\} \end{aligned} \quad (28)$$

حال با استفاده از محاسبات ماتریسی در رابطه‌ی ۲۸ می‌توانیم گرادیان تابع لاغرانژی

#### ۴.۳ نرم $H_2$ سیستم

برای یک سیستم خطی مستقل از زمان (LTI) رابطه‌ی ۱۹ را در نظر بگیرید، نرم  $H_2$  سیستم به صورت رابطه‌ی ۲۰ تعریف می‌شود:<sup>[۱]</sup>

$$\dot{x} = Ax + B_1 w + B_2 u \quad (19)$$

$$z = C_1 x + D_{12} u$$

$$y(t) = C_2 x + D_{22} w$$

$$\begin{aligned} \|H\|_F^2 &= \int_{-\infty}^{\infty} \text{trace}[h'_{zw}(t) h_{zw}(t)] dt = \\ &\quad \frac{1}{2\pi} \int_{-\infty}^{\infty} \text{trace}[H_{zw}^*(j\omega) H_{zw}(j\omega)] d\omega \end{aligned} \quad (20)$$

که در آن،  $H_{zw}$  ماتریس تبدیل سیستم و  $H_{zw}^*$  مزدوج ماتریس تبدیل است. اگر اختشاشات ورودی سیستم  $w(t)$ ، نویز سفید واحد باشد، به صورت رابطه‌ی ۲۱ توصیف می‌شود:

$$E[w(t)] = 0 \quad (21)$$

که در آن،  $\delta$  تابع دلتای دیراک است، به این ترتیب از رابطه‌ی ۲۰ می‌توانیم رابطه‌ی ۲۲ را به دست آوریم:

$$\lim_{T \rightarrow \infty} E\left[\frac{1}{T} \int_0^T z(t)^T z(t) dt\right] = \|H\|_F^2 \quad (22)$$

به این ترتیب مشاهده می‌شود که نرم  $H_2$  سیستم مجانب اندازه‌ی واریانس خروجی سیستم (یعنی مقدار ریشه‌ی متوسط مربعات (RMS) خروجی سیستم) با ورودی نویز سفید واحد است. که از رابطه‌ی ۱۹ داریم:

$$z'(t)z(t) = x' C_1' C_1 x + 2x' C_1' D_{12} u + u' D_{12}' D_{12} u$$

به این ترتیب بهینه‌سازی به روش  $H_2$  و LQG یکسان می‌شود و از طرف دیگر نرم  $H_2$  تابع تبدیل که در رابطه‌ی ۲۰ معرفی شد را می‌توان به صورت تئوری ۱ معرفی کرد.

**تئوری ۱:** نرم  $H_2$  از  $z \rightarrow w$  برای سیستم LTI حلقه‌ی بسته، سیستم ۱۵ برابر بی‌نهایت می‌شود؛ اگر  $A_{cl}$  ناپایدار باشد و  $y = D_{cl} z \neq 0$  باشد، در غیر این صورت رابطه‌ی ۲۳ را خواهیم داشت:

$$\|H\|_F^2 = \text{trace}(C_{cl} P C_{cl}^T) = \text{trace}(B_{cl}^T K B_{cl}) \quad (23)$$

که در آن،  $P$  به ترتیب گرامیان‌های کنترل‌پذیری و مشاهده‌پذیری برای سیستم حلقه‌ی بسته هستند.

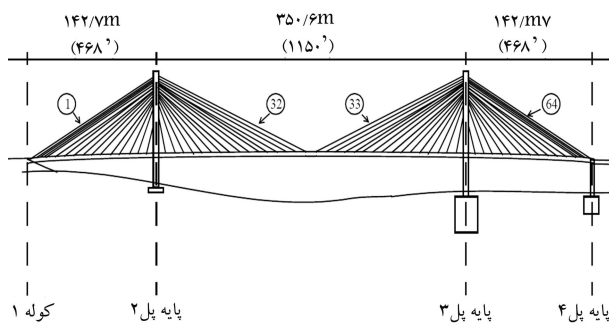
#### ۴.۴ طراحی کنترل‌کننده‌ی غیرمت مرکز $H_2/\text{LQG}$ به روش

بهینه‌سازی نرم  $H_2$  سیستم از طریق ضرایب ماتریس لاغرانژ برای سیستم خطی رابطه‌ی ۱۹ می‌توان کنترل‌کننده‌ی مانند رابطه‌ی ۱۷ در نظر بگیریم. کنترل‌کننده‌ی  $G$  دارای همان تعداد متغیرهای حالت سیستم حلقه‌ی باز است، (یعنی  $A_G \in R^{n_G \times n_G}$  and  $n_G = n_{OL}$ ). و به این ترتیب ماتریس کنترل‌کننده دارای ابعاد  $G \in R^{(n_G + n_u) \times (n_G - n_y)}$  می‌شود.

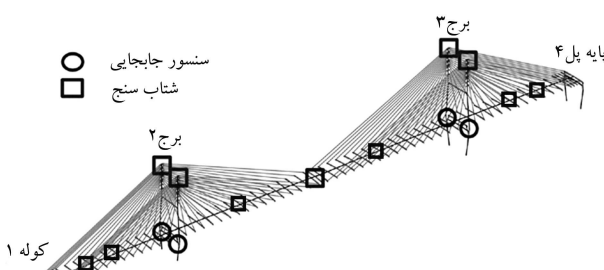
در مجموع دارای عرض کلی  $27/3 \text{ m}$  است. پایه‌ی دوم (peir ۲) دارای ارتفاعات  $10/2, 4$  متر و پایه‌ی سوم (peir ۳) دارای ارتفاع  $10/8, 5$  متر هستند. هر یک از این دو برج  $64$  کابل را نگهداری می‌کنند.

در سیستم بازخورد این پل تعداد کل  $14$  شتاب‌سنج و چهار حس‌گر جابجایی بر روی سیستم کنترلی درنظر گرفته شد. شکل ۴ محل این حس‌گرها را در پل نشان می‌دهد. حس‌گرهای جابجایی با دایره و شتاب‌سنج با مربع مشخص شده‌اند. تعداد  $24$  عمل‌گر هیدرولیک در سازه‌ی پل برای اعمال نیروهای طولی (در جهت محور  $x$ ) به کار گرفته شده است.  $8$  عمل‌گر بین عرشه و پایه‌ی دوم،  $8$  عمل‌گر بین عرشه و پایه‌ی سوم، تعداد  $4$  عمل‌گر بین عرشه و تکیه‌گاه اول و چهار عمل‌گر بین عرشه و پایه‌ی چهارم درنظر گرفته شد. در شکل ۵، نحوه قرارگیری عمل‌گرها در یکی از پایه‌های وسطی را نشان می‌دهد.

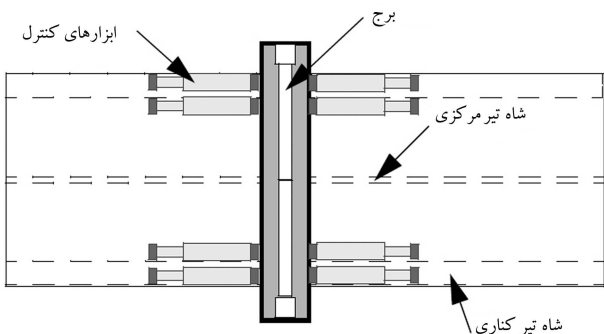
عمل‌گرهای هیدرولیک به کار گرفته شده دارای ظرفیت  $150^0 \text{ kN}$  هستند و از نوع عمل‌گرهای فعل به شمار می‌آیند. در طراحی این مدل کنترلی از دینامیک عمل‌گرها صرف نظر شده است و عمل‌گرها به صورت ایده‌آل درنظر گرفته شده‌اند. معادله‌ی حاکم برای هر یک از این عمل‌گرهای هیدرولیک به صورت رابطه‌ی  $33$



شکل ۳. پل یادبود بیل امرسون.



شکل ۴. محل قرارگیری حس‌گرها بر روی پل.



شکل ۵. نحوه قرارگیری عمل‌گرها یکی از برج‌ها.

را نسبت به متغیرهایش  $G_d, L$  و  $K$  بدست آوریم:

$$\partial \ell / \partial G_d = 2(\tilde{D}_{11}^T \tilde{D}_{11} G_d \tilde{C}_1 + \tilde{D}_{11}^T \tilde{C}_1 + \tilde{B}_1^T K) L \tilde{C}_1^T \quad (29)$$

$$\begin{aligned} \partial \ell / \partial L &= K(\tilde{A} + \tilde{B}_1 G_d \tilde{C}_1) + (\tilde{A} + \tilde{B}_1 G_d \tilde{C}_1)^T K \\ &+ (\tilde{C}_1 + \tilde{D}_{11} G_d \tilde{C}_1)^T (\tilde{C}_1 + \tilde{D}_{11} G_d \tilde{C}_1) \end{aligned} \quad (30)$$

$$\partial \ell / \partial K = L(\tilde{A} + \tilde{B}_1 G_d \tilde{C}_1)^T + (\tilde{A} + \tilde{B}_1 G_d \tilde{C}_1)L + \tilde{B}_1 \tilde{B}_1^T \quad (31)$$

بنابراین، یک دسته از شرط‌های ضروری برای بهینه‌سازی با برایر قراردادن آن‌ها با صفر از رابطه‌های  $29$  تا  $31$  به دست می‌آیند که از این قرارند (رابطه‌ی  $32$ ):

$$\partial \ell / \partial G_d = 0, \quad \partial \ell / \partial L = 0, \quad \partial \ell / \partial K = 0 \quad (32)$$

و علاوه بر این شرط  $\tilde{A} + \tilde{B}_1 G_d \tilde{C}_1$  نیز باید پایدار باشد. حل مستقیم این معادلات غیرخطی کار آسانی نیست، اما دانستن اینکه با رعایت شرط  $\partial \ell / \partial L = 0$  و  $\partial \ell / \partial K = 0$  همان گردایان  $\partial \ell / \partial G_d = 0$  است، می‌تواند مفید واقع شود. برای یک  $G_d$  مشخص  $\partial \ell / \partial L = 0$  و  $\partial \ell / \partial K = 0$  فقط دو معادله‌ی لیپانو مستقل از هم به ترتیب برای  $K$  و  $L$  هستند که با آسانی قابل حل هستند. بنابراین می‌توانیم  $H_2$  سیستم را با استفاده از روش‌های عددی بر پایه‌ی گردایان بهینه کنیم.<sup>[۱]</sup> روش کار بهاین صورت است:

۱. با یک کنترل‌کننده پایدارساز  $G_d$ ، معادلات لیپانو، ( $30$ ):  $\partial \ell / \partial L = 0$  و ( $31$ ):  $\partial \ell / \partial K = 0$  را حل می‌کنیم و به ترتیب ماتریس‌های  $K$  و  $L$  را بدست می‌آوریم.

۲. گردایان  $\partial J / \partial G_d = 0$  را با داشتن  $K$ ،  $L$  و  $G_d$  محاسبه می‌کنیم.

۳. با به دست آمدن گردایان  $\partial J / \partial G_d = 0$  به یکی از روش‌های نزول سریع  $H_2$  گردایان مزدوج <sup>[۱۰]</sup> و یا روش FBGS کوئزی نیوتون <sup>[۱۱]</sup>  $G_d$  جدید را محاسبه می‌کنیم.<sup>[۱۰]</sup>

۴. با محاسبه‌ی  $G_d$  جدید، ابتدا پایداربودن سیستم با آن را بررسی می‌کنیم و چنانچه سیستم را ناپایدار سازد به مرحله‌ی سوم باز می‌گردیم و گام کوچک‌تری را انتخاب می‌کنیم و دوباره  $G_d$  جدید را به دست می‌آوریم؛ چنانچه پایدار بود، به مرحله‌ی یک باز می‌گردیم و اعمال فوق را تکرار می‌کنیم تا نرم  $H_2$  سیستم به یک وضعیت ثابت برسد، یعنی اختلاف نرم  $H_2$  یک مرحله با مرحله قبل از یک میزان خطایی کوچک‌تر شود، به این ترتیب کنترل‌کننده‌ی غیرمت蟠کز  $G_d$  را به دست می‌آوریم.

#### ۴. مدل پل معلق ترکه‌یی

مدل موردمطالعه، برگرفته از پل ترکه‌یی یادبود بیل امرسون <sup>[۲]</sup> است که در میزوری آمریکا <sup>[۱۱]</sup> در سال  $2003$  ساخت آن به اتمام رسید. مدل عددی این پل در دو فاز معروفی شد. <sup>[۱۲]</sup> این مدل به منظور ایجاد یک شاخص مقایسه‌یی <sup>[۱۳]</sup> برای راهبردهای مختلف کنترلی بر روی پل‌های ترکه‌یی ارائه شد. آن‌ها پل را به صورت سه‌بعدی مدل کردند به‌گونه‌یی که تمام پیچیدگی‌های رفتاری آن نشان داده شود.

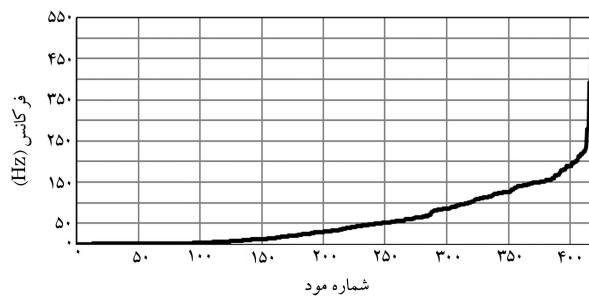
براساس شکل ۳، این پل شامل دو برج (یا پایه‌ی اصلی) است که در مجموع  $128$  کابل را مهار کرده‌اند. دهانه‌ی اصلی پل  $350/6$  متر، دهانه‌های کناری  $142/7$  متر است. عرضه‌ی پل دارای چهار باند اصلی و دو باند باریک برای دوچرخه‌هاست که

این امر روش‌های طراحی با نرم  $H_2$  را محدود می‌کند و طرح را ملزم به استفاده از روش‌هایی می‌کند تا این مشکل را برطرف سازد. برای حل این مشکل، روش کاهش مرتبه‌ی مدل در محدوده‌ی زمانی و بسامدی استفاده شد. برای استفاده از این روش ابتدا نیاز است تا بسامد مودهای حاکم بر سازه را تعیین کنیم. با توجه به اینکه در سازه‌ها مجموع پاسخ مودهای حاکم بر سازه با دقت بسیار خوبی با پاسخ سازه تحت تأثیر بارهای مختلف دینامیکی برابری می‌کند، محدوده‌ی بسامدی متضایر با این مودها به منزه‌ی بازه‌ی بسامدی برای کاهش دادن مدل متضایر با سازه به کار گرفته می‌شود. بازه‌ی زمانی درنظر گرفته شده برای کاهش دادن مدل به روش فوق، بازه‌ی تقریبی مدت اعمال بارگذاری دینامیکی است.

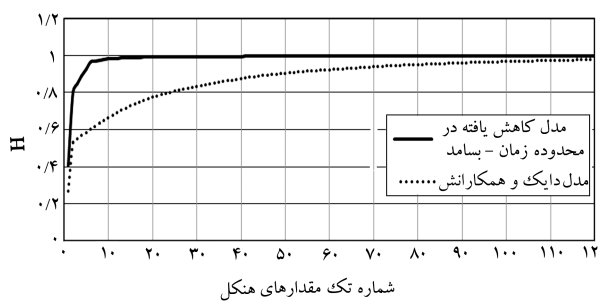
از آنجایی که پل ترکیبی، سازه‌ی نرمی است؛ مودهای حاکم بر آن دارای بسامدهای کوچکی هستند و همان‌طور که در نمودار ۱ نشان داده شده است، صد مود ابتدایی دارای بسامدهایی کوچک‌تر از  $3/5 \text{ Hz}$  هستند. به این ترتیب بازه‌ی بسامدی انتخاب شده با توجه به بسامدهای طبیعی صد مود ابتدایی در محدوده‌ی  $2/5 \text{ Hz}$  هرتز تا  $3/5 \text{ Hz}$  قرار گرفت. بازه‌ی زمانی با توجه به مدت زمان معمول زلزله‌ها صفرتاً شصت ثانیه قرار داده شد و سپس مقادیر منفرد هنکل با استفاده از گرامیان‌های کنترل پذیری و مشاهده‌پذیری در محدوده‌ی زمانی و بسامدی فوق تعیین شد.

سپس نسبت تجمعی تک‌مقدارهای هنکل به مجموع کل آن‌ها به دست آمد، که در نمودار ۲ این نسبت در مقابل هر یک شماره مود را که از تک‌مقدارهای هنکل برای مدل محدوده‌ی زمانی و بسامدی و مدل دایک و همکارانش<sup>[۱۲]</sup> نشان داده شده است.

در این نمودار می‌توان دید که تأثیر تک‌مقدارهای هنکل  $13^{\circ}$  به بعد در نسبت مجموع‌ها بسیار جزیی است. به این ترتیب با کاهش مرتبه‌ی سیستم اصلی ( $G$ ) به سی مرتبه<sup>(r) = 30</sup>، توانستیم سیستم کاهش داده شده ( $G_r$ ) را به دست آوریم. همچنین در بررسی خطای تقریب با استفاده از رابطه<sup>۹</sup> مشاهده شد که این خطای



نمودار ۱. بسامدهای طبیعی سازه و مودهای متضایر با آن‌ها.



نمودار ۲. نسبت تجمعی تک‌مقدارهای هنکل به مجموع کل آن‌ها.

است:

$$y_f = D_d \times v \quad (۳۳)$$

که در آن،  $D_d = 150 \text{ kN/V}$ ،  $v$  ورودی ولتاژ متضایر با نیروی کنترل برای هر عمل گر، و  $y_f$  نیروی تولیدشده در هر عمل گر است. همان‌طور که مشاهده می‌شود این عمل گرها در ولتاژ  $7^{\circ}$  به نیروی اشباع خود می‌رسند. مدل کاهش یافته‌ی استاتیکی پل دارای  $41^{\circ}$  درجه‌ی آزادی است که معادله‌ی حرکت عمومی آن به صورت رابطه‌ی  $34$  تعریف می‌شود:

$$M\ddot{U} + C\dot{U} + KU = -MT\ddot{x}_g + \Lambda f \quad (۳۴)$$

که در آن،  $U$  بردار پاسخ جابجایی سیستم،  $K, C, M$  ماتریس‌های جرم، میارابی و سختی سازه هستند،  $f$  بردار ورودی نیروی کنترل،  $\dot{x}_g$  شتاب طولی زمین، و  $\Gamma$  برداری از صفر و یک است که شتاب زمین را به درجات آزادی پل مربوط می‌سازد.  $\Lambda$  برداری است که نیروهای کنترلی ایجادشده با ابزار کنترل را به درجات آزادی پل مربوط می‌سازد. به این ترتیب این مدل دارای  $838$  متغیر حالت در مدل کنترلی خود است.

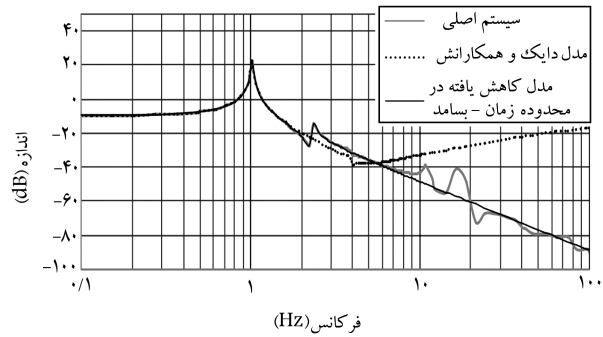
در مدل کنترلی دایک و همکارانش<sup>[۱۲]</sup>، پیش از آنکه کنترل کننده برای مدل کنترلی طراحی شود؛ مدل کنترلی کاهش مرتبه‌یافته به دست آمد. برای این منظور ابتدا با یک تبدیل در متغیرهای فضایی حالت سیستم را به حالت بالانس شده تبدیل کردند، و سپس مرتبه‌ی مدل را به روش تقریب انحراف منفرد  $24^{\circ}$  کاهش دادند و مدل کاهش داده‌ی با  $6^{\circ}$  متغیر حالت به دست آوردند.

دایک و همکارانش، در این شاخص مقایسه‌ی برای سنجش سیستم‌های کنترلی مختلف تعداد  $18$  معیار ارزیابی را معرفی کردند<sup>[۱۲]</sup>، که شش معیار ابتدایی  $J_{11} - J_{15}$  مربوط به پاسخ‌های بیشینه‌ی بازمترهای مختلف می‌شوند، تمام این شش معیار ابتدایی به صورت نسبت این مقادیر بیشینه به مقادیر بیشینه اتفاق افتاده در حالت کنترل نشده بیان می‌شوند. معیارهای ارزیابی  $J_{11} - J_7$  مقادیر نرم پاسخ‌های پل هستند. اینه تمام معیارهای مربوط به نرم‌ها نسبت به نرم‌های متضایر پاسخ‌های پل در حالت کنترل نشده بیان شدند.  $J_{12}$  بیشینه‌ی نیروی تولیدشده به وسیله‌ی عمل گر نرم‌الشده به وزن سازه‌ی بالایی پل بیان می‌شود،  $J_{13}$  بیشینه‌ی ضررهای ابزار کنترلی است که نسبت به بیشینه‌ی توان آنی و کل توان مورد نیاز توسعه عمل گرها برای کنترل پل  $J_{14} - J_{15}$  بیشینه‌ی توان آنی و کل توان مدل کنترل نشده بیان می‌شود، است و درنهایت  $J_{16} - J_{18}$  تعداد عمل گرها، حسگرهای اندازه‌ی کنترل کننده را نشان می‌دهند. تمام معیارهای ارزیابی فوق به غیر از معیارهای پنجم، ششم، یازدهم و شانزدهم تا هجدهم در هر دو جهت طولی و عمودی بر محور پل ارزیابی می‌شوند.

## ۵. تغییرات اعمالی بر روی مدل سیستم کنترلی پل ترکه‌یی

### ۱. کاهش مرتبه‌ی مدل پل معلق ترکه‌یی در محدوده‌ی زمانی و بسامدی

در روش به کار گرفته شده توسط دایک و همکارانش برای کاهش مرتبه‌ی مدل پل، تابع تبدیل مدل کاهش یافته در بسامدهای بالا از تابع تبدیل مدل کاهش نیافته فاصله می‌گیرد، این اختلاف به سبب تغییراتی که در ماتریس‌های حالت در رابطه‌ی  $3$  به خصوص ماتریس  $D$  ایجادشده است، پدید می‌آید. این اختلاف در تابع تبدیل‌ها سبب اختلاف در نرم  $H_2$  کاهش یافته و کاهش نیافته در حالت حلقه‌ی بسته می‌شود.



نمودار ۳. نمودار بزرگای لگاریتمی تابع تبدیل جابجایی دو مدل کاهش مرتبه یافته و مدل اولیه.

موردنظریات ورودی سیستم و نویفه‌های اندازه‌گیری انجام دادند، تحریکات ورودی سیستم با فرض اینکه توزیع یکسانی داشته باشند ( $S_w = S_{ww}$ )، به صورت نویفه‌ی سفید بدون تغییر پردازش شوند، مدل شدنده؛ و نویفه‌های اندازه‌گیری شده با فرض توزیع یکسان، به صورت نویفه‌های مستقل سفید گوسی پردازش شدنده و نسبت شدت تحریکات ورودی سیستم به شدت نویفه‌های اندازه‌گیری شده ۲۵ فرض شد ( $S_{ww}/S_{v_{inv}} = \gamma = 25$ ). این نسبت به صورت تعیین می‌شود که فیلتر کالمن بیوسی ۲۵ به صورت بهینه عمل کند و زمانی این اتفاق می‌افتد که نسبت شدت نویفه‌های اندازه‌گیری شده به شدت نویفه‌های ورودی سیستم برابر با ۴٪ باشد. به این ترتیب کنترل کننده‌یی با ۳۰ متغیر حالت طراحی شد و به صورت رابطه زیر معرفی شد:

$$\begin{aligned} \dot{\hat{x}}(t) &= A_G \hat{x}(t) + B_G y(t) \\ u(t) &= C_G \hat{x}(t) \end{aligned} \quad (38)$$

که در آن،  $A_G$  ماتریس حالت کنترل کننده،  $B_G$  متناظر با سیگنال‌های حسگرهای، و  $C_G$  متناظر با سیگنال نیروی کنترل است.

### ۳.۵. طراحی کنترل کننده‌ی غیرمتقارن $H_2/LQG$

در طراحی کنترل کننده‌ی غیرمتقارن، ابتدا مدل کنترلی را به دو زیرسیستم مطابق شکل ۶ تقسیم کردیم. این دو زیرسیستم دارای همپوشانی در وسط دهانه اصلی و هر یک دارای ۱۰ حسگر از ۱۸ حسگر نصب شده روی پل هستند. درنتیجه دو حسگر مشترک وجود خواهد داشت. در محل همپوشانی دو حسگر شتاب به نحوی قرار گرفته‌اند که شتاب طولی و عمود بر جهت پل را اندازه‌گیری کنند.

هر یک از این زیرسیستم‌ها دارای ۱۲ عملگر هیدرولیک از ۲۴ عملگرند. آرایش بلندی کنترل کننده‌ی این سیستم به صورت شکل ۷ نشان داده می‌شود. در این کنترل کننده هر یک از ماتریس‌های حالت کنترل کننده نشان می‌دهد که واحد dB معرفی شد. برابر لگاریتم اندازه‌ی تابع تبدیل در بسامدهای مختلف است. مدل کاهش مرتبه یافته با استفاده از رابطه‌ی ۳۵ بازنویسی شد:

بسیار ناچیز است که مقدار نرمال شده‌ی این خطای ۷٪ است. همچنین در نمودار ۳ که اندازه‌ی لگاریتمی تابع تبدیل را در بسامدهای مختلف برای تابع تبدیل های نشان می‌دهد، به ترتیب تابع تبدیل سومین تحریک به جابجایی در محل عرشه و برج دوم است. در این نمودار به خوبی مشخص است که سیستم کاهش مرتبه یافته به روش دایک و همکارانش دارای اختلاف زیادی در تابع تبدیل‌ها در بسامدهای بالاست و همچنین این نمودارها از انتساب خوب سیستم کاهش یافته به روش محدوده‌ی زمانی و بسامدهای را با سیستم اولیه نشان می‌دهند. بزرگای لگاریتمی که در نمودارهای زیر با واحد dB معرفی شد، ۲۰ برابر لگاریتم اندازه‌ی تابع تبدیل در بسامدهای مختلف است.

مدل کاهش مرتبه یافته با استفاده از رابطه‌ی ۳۵ بازنویسی شد:

$$\begin{aligned} \dot{x}^r &= A_r x^r + B_{1r} u_g + B_{2r} u \\ z &= C_{1r}^z x^r + D_{11}^z u_g + D_{12}^z u \\ y_m &= C_{1r}^y x^r + D_{11}^y u_g + D_{12}^y u \end{aligned} \quad (35)$$

که در این رابطه  $\begin{bmatrix} \ddot{U}_g \\ \dot{U}_g \end{bmatrix} = u_g$  است، یعنی تحریکات زمین شامل سرعت و شتاب است.

### ۲.۵. طراحی کنترل کننده‌ی متقارن $H_2/LQG$

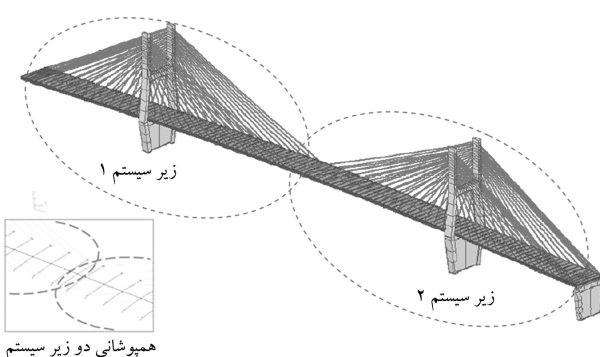
برای طراحی کنترل کننده‌ی متقارن  $H_2/LQG$  شاخص عملکرد سیستم کنترلی به صورت رابطه‌ی ۳۶ عنوان می‌شود:

$$J = \lim_{\tau \rightarrow \infty} \frac{1}{\tau} E \left[ \int_0^\tau \left( z^T(t) Q z(t) + u^T(t) \right) dt \right] \quad (36)$$

این کنترل کننده با انتخاب شاخص عملکردی شتاب رأس برج‌ها را با ضریبی برابر  $q = 10 \times 1/7 = 1/7$  وزن دهنده می‌کند.

$$Q = C_{1acc} \times \begin{bmatrix} 1 & 0 & 0 & 0 \\ 0 & 1 & 0 & 0 \\ 0 & 0 & 1 & 0 \\ 0 & 0 & 0 & 1 \end{bmatrix} \times q \times C_{1acc} \quad (37)$$

که در آن،  $C_{1acc}$  شامل سطرهایی از  $C_1$  است که متناظر با شتاب رأس برج‌ها در پارامترهای ارزیابی هستند. با توجه به فرضیاتی که دایک و همکارانش در

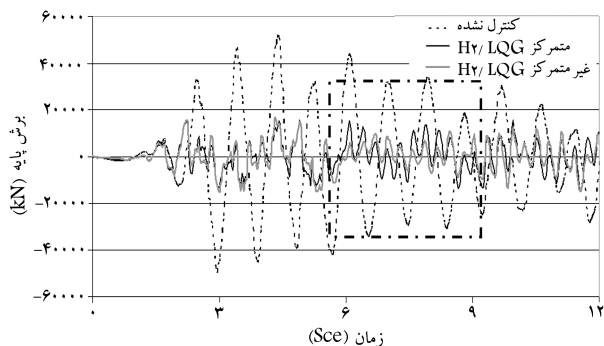


شکل ۶. زیرسیستم‌ها و همپوشانی زیرسیستم‌های تعیین شده در سازه‌ی پل.

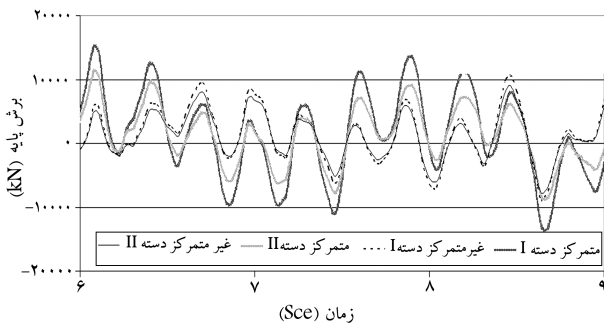
السترو<sup>۲۶</sup> (۱۹۴۰) با نتایج حاصل از تحلیل مدل با کنترل‌کننده‌های متمرکز و غیرمتمرکزی که تأخیر زمانی در طراحی آن‌ها درنظر گرفته نشده باشد و همچنین حالت کنترل‌کننده مقایسه می‌شود و درنهایت جداول معیارهای ارزیابی برای این دو دسته از تحلیل‌ها تحت زلزله‌ی السترو<sup>۲۷</sup> (۱۹۴۰) نشان داده می‌شود.

نمودارهای ۴ و ۵ پاسخ حاصل از تحلیل را برای دو دسته از کنترل‌کننده‌ها نشان می‌دهد: دسته‌ی اول (I) کنترل‌کننده‌هایی که تأخیر زمانی فوق در طراحی آن‌ها درنظر گرفته نشده و دسته‌ی دوم (II) کنترل‌کننده‌هایی که تأخیرهای زمانی فوق در طراحی آن‌ها درنظر گرفته شده است. چیزی که در همه‌ی این نمودارها دیده می‌شود این است که بیشترین کاهش در پاسخ سازه، در مدل‌هایی با کنترل‌کننده‌های دسته‌ی II وجود دارد.

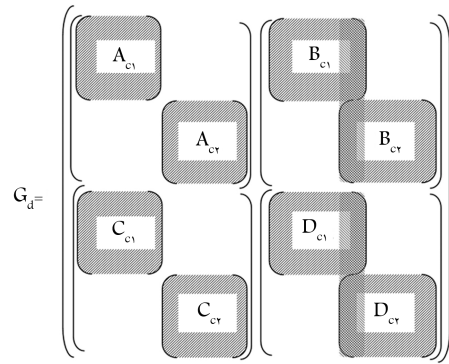
در مقایسه‌ی برش پایه‌ی حالات کنترل‌کننده و کنترل‌شده (نمودار ۴) مشاهده می‌شود که برش پایه در حالت کنترل‌شده کاهش خوبی از خود نشان می‌دهد. در نمودار ۵، بیشترین کاهش در برش پایه مربوط به مدلی با کنترل‌کننده‌ی غیرمتمرکز از دسته‌ی II است و کمترین کاهش مربوط به مدلی با کنترل‌کننده‌ی متمرکز از دسته‌ی I است. رفتار در لنگر واگونی نیز در مقایسه‌ی پاسخ‌ها در نمودارهای ۶ و ۷ مشابه رفتار آن‌ها در برش پایه است. در جدول ۱، معیارهای ارزیابی برای مدل با هر چهار کنترل‌کننده‌ی طراحی شده تحت زلزله‌ی السترو<sup>۲۸</sup> (۱۹۴۰) نشان داده شده است، یعنی دو کنترل‌کننده‌ی متمرکز و غیرمتمرکز از دسته‌ی I که در طراحی آن‌ها تأخیر زمانی‌ها در بازخورد درنظر گرفته نشده و دو کنترل‌کننده‌ی متمرکز و غیرمتمرکز دسته‌ی II که در طراحی آن‌ها تأخیر زمانی در بازخورد درنظر گرفته شده است.



نمودار ۴. مقایسه‌ی مدل کنترل‌کننده با مدل‌های کنترل‌شده توسط کنترل‌کننده‌های دسته‌ی I در برش پایه در جهت طولی پایه‌ی دوم.



نمودار ۵. مقایسه‌ی مدل‌های کنترل‌شده‌ی دسته‌ی I و II در برش پایه در جهت طولی پایه‌ی دوم.



شکل ۷. آرایش بلوکی کنترل‌کننده‌ی غیرمتمرکز با هم‌پوشانی در سیگنال دو حس‌گر.

می‌گیرند و همچنین هر کدام متناظر با چهار سیگنال کنترلی هستند و درنهایت هر کدام از این دو ماتریس دارای ابعادی برابر با  $4 \times 10^4$  هستند. به آسانی دیده می‌شود که کنترل‌کننده‌ی فوق را می‌توان به صورت دو کنترل‌کننده‌ی جدا از هم نشان داد:

$$G_{d,i} = \begin{bmatrix} A_{G_i} & B_{G_i} \\ C_{G_i} & D_{G_i} \end{bmatrix}, \quad i = 1, 2. \quad (۳۹)$$

حال با مشخص شدن آرایش کنترل‌کننده‌ی غیرمتمرکز ( $G_d$ ), نوبت به طراحی این کنترل‌کننده می‌رسد که این کار با تبدیل آرایش کنترل‌کننده‌ی متمرکز به صورت غیرمتمرکز (شکل ۷) انجام می‌شود و با استفاده از الگوریتم توضیح داده شده در بخش ۴.۵.۳ کنترل‌کننده‌ی غیرمتمرکز به دست می‌آید.

#### ۴.۵. درنظرگرفتن تأخیر زمانی در کنترل‌کننده‌های متمرکز و غیرمتمرکز

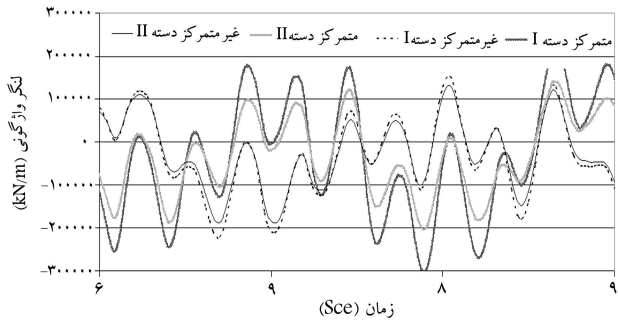
تأخر زمانی بین فرستنده‌ها و گیرنده‌های بی‌سیم در حدود ۵ تا ۱۰ میلی ثانیه است که به آن تأخیر ناشی از انتقال داده‌ها به کنترل‌کننده افزوده می‌شود که مقدار آن براساس حجم اطلاعات عبوری و سرعت انتقال داده‌ی متغیر است. مجموع این دو برابر کل تأخیر زمانی سیستم کنترلی می‌شود که بخش اعظم آن ناشی از زمان تأخیر در ارتباط است.

در نوشтар حاضر، زمان تأخیر در سیستم کنترلی متمرکز به دلیل اینکه حجم بزرگ‌تری از داده‌ها وجود دارد برابر با ۱۰ ms و در حالت غیرمتمرکز برابر با ۷ ms درنظر گرفته شد. سپس با استفاده از رابطه‌ی ۱۲ در سیستم‌های کنترلی معروفی شد. با این کار ۳۰٪ متغیر فضای حالت جدید رابطه‌ی ۳۸ و ۱۸٪ متغیر حالت جدید رابطه‌ی ۱۲ برای تأخیر زمانی در سیگنال حس‌گرها به دست آمد. سپس کنترل‌کننده‌های متمرکز و غیرمتمرکز  $H_2/LQG$  به صورتی که در دو قسمت قبل توضیح داده شد، برای سیستم کنترلی به دست آمده محاسبه شد و تأخیر زمانی در سیستم کنترلی آن درنظر گرفته شد.

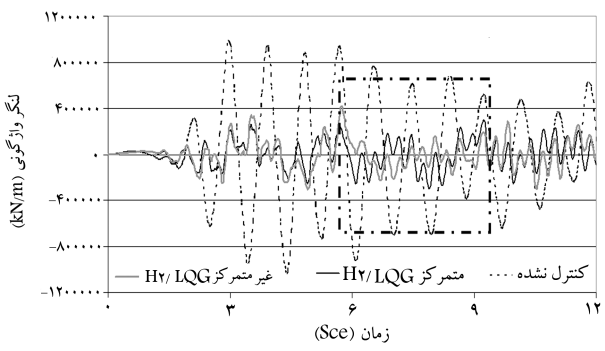
#### ۶. مقایسه‌ی نتایج حاصل از سیستم‌های کنترلی طراحی

##### شده

در این قسمت نتایج حاصل از تحلیل مدل پل با کنترل‌کننده‌های متمرکز و غیرمتمرکز  $H_2/LQG$  در شرایطی که تأخیرهای زمانی ۱۰ و ۷ میلی ثانیه‌ی سیگنال‌های بازخورد حس‌گرها در طراحی این کنترل‌کننده‌ها درنظر گرفته شده باشد، تحت زلزله‌ی



نمودار ۷. مقایسه‌ی مدل‌های کنترل شده دسته‌ی I و II در لنگر واژگونی در حول محور طولی پایه‌ی دوم.



نمودار ۶. مقایسه‌ی مدل کنترل نشده با مدل‌های کنترل شده توسط کنترل دسته‌های II در لنگر واژگونی در حول محور طولی پایه‌ی دوم.

جدول ۱. مقایسه‌ی معیارهای ارزیابی برای الگوریتم‌های کنترلی طراحی شده تحت زلزله‌ی السنترو (۱۹۴۰).

معیار ارزیابی	کنترل کننده‌ی II $H_2/LQG$	کنترل کننده‌ی I $H_2/LQG$	کنترل کننده‌ی II $H_2/LQG$	کنترل کننده‌ی II $H_2/LQG$	کنترل کننده‌ی II $H_2/LQG$
بیشینه‌ی برش پایه (x)	۰,۳۶۰۵	۰,۳۳۴۸	۰,۳۳۸۹	۰,۳۳۴۴	$J_1 - X$
بیشینه‌ی برش پایه (z)	۱,۱۱۲۶	۱,۰۳۳۳	۱,۰۳۷۸	۱,۰۳۲۲	$J_1 - Z$
بیشینه‌ی برش در سطح عرشه (x)	۱,۲۳۰۳	۱,۱۴۲۵	۱,۱۳۹۷	۱,۱۳۷۵	$J_2 - X$
بیشینه‌ی برش در سطح عرشه (z)	۱,۰۴۶۲	۰,۹۷۱۶	۰,۹۷۷۸	۰,۹۷۰۷	$J_2 - Z$
بیشینه‌ی لنگر پایه (x)	۰,۳۳۰۲	۰,۳۰۶۶	۰,۳۰۸۶	۰,۳۰۴۵	$J_3 - X$
بیشینه‌ی لنگر پایه (z)	۱,۱۹۲۰	۱,۱۰۷۲	۱,۱۱۰۶	۱,۱۰۶۴	$J_3 - Z$
بیشینه‌ی لنگر در سطح عرشه (x)	۰,۶۳۴۶	۰,۵۸۴۹	۰,۵۹۶۱	۰,۵۸۶۴	$J_4 - X$
بیشینه‌ی لنگر در سطح عرشه (z)	۱,۰۹۸۰	۱,۰۱۹۷	۱,۰۱۴۲	۱,۰۱۸۷	$J_4 - Z$
بیشینه‌ی اختلاف کشش در کابل	۰,۳۰۹۱	۰,۲۸۷۱	۰,۲۸۸۶	۰,۲۸۵۵	$J_5$
بیشینه‌ی جابجایی در عرشه	۱,۰۵۷۳	۰,۹۸۱۹	۰,۹۸۸۱	۰,۹۶۶۵	$J_6$
نرم برش پایه (x)	۰,۳۰۳۴	۰,۲۸۱۸	۰,۲۸۳۶	۰,۲۷۰۶	$J_7 - X$
نرم برش پایه (z)	۱,۱۰۳۰	۱,۰۲۴۴	۱,۰۳۲۸	۱,۰۲۳۳	$J_7 - Z$
نرم برش در سطح عرشه (x)	۱,۴۹۲۲	۱,۳۸۵۸	۱,۳۸۷۶	۱,۳۲۶۳	$J_8 - X$
نرم برش در سطح عرشه (z)	۱,۰۶۳۶	۰,۹۸۷۶	۰,۹۹۱۸	۰,۹۸۶۸	$J_8 - Z$
نرم لنگر پایه (x)	۰,۲۹۱۰	۰,۲۷۰۲	۰,۲۷۲۰	۰,۲۶۱۶	$J_9 - X$
نرم لنگر پایه (z)	۱,۰۹۴۰	۱,۰۱۶۰	۱,۰۱۲۴	۱,۰۱۵۰	$J_9 - Z$
نرم لنگر در سطح عرشه (x)	۰,۶۴۶۳	۰,۶۰۰۲	۰,۶۰۴۰	۰,۵۹۹۱	$J_{10} - X$
نرم لنگر در سطح عرشه (z)	۱,۰۸۹۵	۱,۰۱۱۸	۱,۰۱۸۲	۱,۰۱۰۸	$J_{10} - Z$
نرم اختلاف کشش در کابل	۰,۰۲۸۶	۰,۰۲۵۶	۰,۰۲۶۲	۰,۰۲۶۴	$J_{11}$
بیشینه‌ی نیروی کنترلی (x)	۰,۰۰۲۶	۰,۰۰۲۵	۰,۰۰۲۴	۰,۰۰۲۳	$J_{12} - X$
بیشینه‌ی نیروی کنترلی (z)	۰/۰	۰/۰	۰/۰	۰/۰	$J_{12} - Z$
بیشینه‌ی ضربه‌ی عمل‌گر (x)	۰,۶۷۷۱	۰,۶۲۸۸	۰,۶۳۲۸	۰,۶۱۳۹	$J_{13} - X$
بیشینه‌ی ضربه‌ی عمل‌گر (z)	۰/۰	۰/۰	۰/۰	۰/۰	$J_{13} - Z$
بیشینه‌ی توان مصروفی (x)	۰,۰۰۳۳	۰,۰۰۳۱	۰,۰۰۳۱	۰,۰۰۲۹	$J_{14} - X$
بیشینه‌ی توان مصروفی (z)	۰/۰	۰/۰	۰/۰	۰/۰	$J_{14} - Z$
کل توان مصروفی (x)	۰,۰۰۰۵	۰,۰۰۰۴	۰,۰۰۰۴	۰,۰۰۰۴	$J_{15} - X$
کل توان مصروفی (z)	۰/۰	۰/۰	۰/۰	۰/۰	$J_{15} - Z$

**۷. نتیجه‌گیری**

در این نوشتار کارایی یک سیستم کنترلی با الگوریتم غیرمتراکز  $H_2/LQG$  برای یک پل معلق ترکیبی که از بازخورد بی‌سیم بهره می‌برد، ارزیابی شد و بدلیل بزرگ‌مقیاس‌بودن سازه، مرتبه‌ی سیستم کنترلی نیز کاهش داده شد. نتایج نشان داد که استفاده از روش کاهش مرتبه‌ی مدل در محدوده زمانی و بسامدی برای مدل‌هایی که تعداد درجه‌های آزادی آن‌ها متوسط است و مودهای حاکم بر مدل دارای بازه‌ی بسامدی مشخصی هستند، می‌تواند روش مناسبی باشد و دارای دقت خوبی است.

طراحی کنترل‌کننده‌ی غیرمتراکز  $H_2/LQG$  برای یک سازه‌ی بزرگ‌مقیاس با سیستم بازخورد حس‌گرهای بی‌سیم نشان داد که استفاده از روش بهینه‌سازی نرم  $H_2$  سیستم از طریق ضرایب ماتریس لاگرانژ‌روش مناسبی برای به دست آوردن کنترل‌کننده‌ی غیرمتراکر  $H_2/LQG$  است، زیرا در هرگام با به دست آوردن نرم بهینه‌ی  $H_2$  سیستم و همین‌طور بررسی پایداری سیستم به کنترل‌کننده‌ی غیرمتراکر نزدیک‌تر می‌شود و همچنین آرایش‌های مختلف بلوکی برای به دست آوردن کنترل‌کننده‌ی غیرمتراکر در این الگوریتم به راحتی اعمال شدنی است. همچنین طراحی کنترل‌کننده با درنظرگرفتن تأخیر زمانی در بازخوردها کاهش بیشتری در پاسخ‌ها نسبت به حالات دیگری که تأخیر زمانی در طراحی کنترل‌کننده‌ها درنظر گرفته نشده باشد، از خود نشان می‌دهد.

همان‌طورکه گفته شد، تأخیر زمانی در نظر گرفته شده در بازخوردها برای سیستم کنترلی متراکز بزرگ‌تر از تأخیر زمانی در نظر گرفته شده در بازخوردها برای سیستم کنترلی غیرمتراکز بود، پاسخ مدل با کنترل‌کننده‌های دسته‌ی  $I$ ، یعنی کنترل‌کننده‌هایی که تأخیر زمانی در بازخورد در طراحی آن‌ها در نظر گرفته نشده است، نشان داد که مدل با کنترل‌کننده‌ی غیرمتراکز دسته‌ی  $I$  پاسخ‌های سازه را بیشتر از مدل با کنترل‌کننده‌ی متراکز دسته‌ی  $I$  کاهش می‌دهد. طراحی کنترل‌کننده‌ها با درنظر گرفتن تأخیر زمانی موجود در بازخورد نیز سبب بهبود پاسخ‌ها شد که این مطلب نیز با مقایسه‌ی معیارهای ارزیابی حاصل از کنترل‌کننده‌ی متراکز و غیرمتراکز  $H_2/LQG$  دسته‌ی  $I$  با معیارهای ارزیابی حاصل از کنترل‌کننده‌ی متراکز و غیرمتراکز  $H_2/LQG$  دسته‌ی  $II$  قابل مشاهده است. در مجموع پاسخ‌های به دست آمده از کنترل‌کننده‌ی غیرمتراکر  $H_2/LQG$  دسته‌ی  $II$  کاهش بیشتری نسبت به پاسخ دیگر کنترل‌کننده‌ها از خود نشان داد که به خوبی در معیارهای ارزیابی در سومین معیار از جدول ۱ (J-X, J-Z) قابل مشاهده است.

به این ترتیب مشخص شد که حتی برای تأخیرهای زمانی کوچک در حدود ۱۰ میلی ثانیه نیز استفاده از کنترل‌کننده‌ی غیرمتراکر که تأخیر زمانی کوچک‌تری در بازخوردها به خود اختصاص می‌دهد، می‌تواند رویکرد مناسبی باشد، و همین‌طور درنظر گرفتن تأخیر زمانی موجود در بازخوردها در طراحی کنترل‌کننده‌ها می‌تواند عامل مؤثری در کاهش بیشتر پاسخ‌های سازه باشد.

## پانوشتها

1. active variable stiffness
2. Electroheological
3. Magnetoheological
4. actuators
5. real-time
6. embedded computing technology
7. Siljak, D.D. and Lunze, J.
8. passivity
9. stability
10. linear time-invariant (LTI)
11. singular value decomposition
12. truncation balance realization
13. states
14. moment matching based methods
15. Krylov
16. hankel singular values
17. Lyapunov
18. steepest-descent
19. conjugate gradient
20. quasi-Newton
21. Bill Emerson
22. Missouri, USA
23. bench mark
24. singular perturbation approximation
25. Kalman-Bucy filtering
26. El Centro

## منابع (References)

1. Wang, Y.; Swartz, R.A.; Lynch, J.P.; Law, K.H.; Lu, K.C. and Loh, C.H. "Wireless feedback structural control with embedded computing", *In Proceedings of SPIE, Health Monitoring and Smart Nondestructive Evaluation of Structural and Biological Systems*, San Diego, CA, pp. 327-341 (2006).
2. Lynch, J.P.; Wang, Y.; Swartz, R.A.; Lu, K.C. and Loh, C.H. "Implementation of a closed-loop structural control system using wireless sensor networks", *Structural Control and Health Monitoring*, **15**, pp. 518-539 (2008).
3. Wang, Y.; Law, K.H. and Lall, S. "Time-delayed decentralized  $H_\infty$  controller design for civil structures: A homotopy method through linear matrix inequalities", *Structural Control and Health Monitoring*, pp. 1545-2255 (2009).
4. Wang, Y.; Lynch, J.P. and Law, K.H., *Wireless Sensing and Decentralized Control for Civil Structures: Theory and Implementation*, PhD Thesis, Department of Civil Eng, Stanford University, pp. 1-34, and pp. 98-145 (2007).
5. Date, R.A. and Chow, J.H. "A parametrization approach to optimal  $H_2$  and  $H_\infty$  decentralized control problems", *Automatica*, **29**(2), pp. 457-463 (1993).

6. Antoulas, A.C.; Sorensen, D.C. and Gugercin, S., *A Survey of Model Reduction Methods for Large-Scale Systems*, Rice University, Houston, Texas, pp. 1-17 (2000).
7. Gawronski, W. "Advanced structural dynamics and active control of structures", Springer, New York, pp. 67-165 (2004).
8. Franklin, G.F.; Powell, J.D. and Workman, M.L., *Digital Control of Dynamic Systems*, 3rd ed. Menlo Park, CA: Addison-Wesley, pp. 342-351 (1998).
9. Zuo, L. and Nayfeh, S.A. "Structured  $H_2$  optimization of vehicle suspensions based on Multi-Wheel models", *Vehicle System Dynamics*, **40**(5) , pp. 351-371 (2003).
10. Griva, I.; Nash, S.G. and Sofer, A. "Linear and nonlinear optimization", *Society for Industrial and Applied Mathematics*, Philadelphia, pp. 320-365 (2009).
11. Caicedo, J.M.; Dyke, S.J.; Moon S.J.; Bergman, L.A.; Turan, G. and Hague, S. "Phase II benchmark control problem for seismic response of cable-stayed bridges", *Department of Civil Engineering, Washington University*, St. Louis, MO 63130, pp. 1-39 (2003).
12. Dyke, S.J.; Caicedo, J.M.; Turan, G.; Bergman, L.A. and Hague, S. "Phase I benchmark control problem for seismic response of cable-stayed bridges", *Department of Civil Engineering*, Washington University, St. Louis, MO 63130, pp. 1-37 (2002).